

ГІПЕРПРОСТІР РОТОРІВ ТРИКУТНИКА, УТВОРЕНИХ КОЛОВИМИ ДУГАМИ

Доведено, що гіперпростір роторів правильного трикутника, межі яких є скінченними об'єднаннями дуг кіл, утворює псевдомежу для скінченновимірних компактів у гіперпросторі всіх роторів (останній, як відомо, гомеоморфний гільбертовому кубові).

It is proved that the hyperspace of rotors in perfect triangles with bounds that are finite unions of circle arches is a pseudo-bound for finite dimensional compacts in the hyperspace of all rotors (the last, as is well known, is homeomorphic to the Hilbert cube).

Вступ. У попередній праці автора [1] показано, що гіперпростір роторів правильного n -кутника на площині гомеоморфний гільбертовому кубові Q . Цей результат можна вважати аналогом теореми Надлера-Квінна-Ставрокаса [2] про те, що гіперпростір компактних опуклих тіл в n -вимірному евклідовому просторі (кубові), $n \geq 2$, гомеоморфний гільбертовому кубові з видаленою точкою (відповідно гільбертовому кубові).

Нагадаємо, що гільбертів куб Q – це зліченна степінь відрізка $[0, 1]$, $Q = [0, 1]^\omega$. Нехай $\sigma = \{(x_i)_{i=1}^\infty \in Q \mid x_i = 0 \text{ для всіх, крім скінченного числа } i\}$. Топологічну класифікацію пари (Q, σ) можна знайти в [3]. Нескладно показати, що пара $(cc([0, 1]^n), rsc([0, 1]^n))$, $n \geq 2$, де $cc([0, 1]^n)$ (відповідно $rsc([0, 1]^n)$) означає множину (полідральних) непорожніх опуклих компактних множин в кубі $[0, 1]^n$, гомеоморфна парі (Q, σ) .

Аналогічне твердження доведено для полідральних тіл сталої ширини для випадку $n = 2$ (див. [1]). При цьому полідральність означає, що відповідне тіло має межу, утворену дугами кіл. Зауважимо, що тіла сталої ширини – це ротори квадрата, а тому природно формулювати відповідну задачу також і для випадку роторів довільного многокутника.

У статті розглянуто випадок роторів правильного трикутника. Для формулювання основного результату запровадимо деякі позначення.

Нехай маємо рівносторонній трикутник зі стороною R .

Означення 1. Назвемо R -ротором замкнене опукле тіло U , яке можна вільно обернути у цьому трикутнику, причому так, що його положення при фіксованому куті повороту єдине.

Позначимо множину всіх R -роторів через \mathcal{R} . На множині \mathcal{R} розглядають метрику Гаусдорфа d_H :

$$d_H(A, B) = \inf\{\varepsilon > 0 \mid A \subset O_\varepsilon(B), B \subset O_\varepsilon(A)\}$$

(тут і далі $O_r(C)$ означає r -окіл множини C).

Нехай \mathcal{R}_p – множина усіх роторів, межі яких є скінченними об'єднаннями дуг кіл.

Основним результатом є таке твердження.

Теорема 1. Пара $(\mathcal{R}, \mathcal{R}_p)$ гомеоморфна парі (Q, σ) .

Опишемо стратегію доведення цієї теореми. Множина \mathcal{R} допускає природну опуклу структуру, що задається опуклою комбінацією Мінковського:

$$tA + (1 - t)B = \{ta + (1 - t)b \mid a \in A, b \in B\}$$

(див. [1]). Не зменшуючи загальності, можна вважати, що \mathcal{R} лежить в локально опуклому просторі як опуклий компакт. Тоді, як нескладно переконатися, множина \mathcal{R}_p є опуклою підмножиною в \mathcal{R} . Крім того, множина \mathcal{R}_p є зліченим об'єднанням замкнених скінченновимірних множин.

Нагадаємо, що замкнена множина A в компактному метричному просторі X називається Z -множиною, якщо для кожного $\varepsilon > 0$ існує неперервне відображення $f_\varepsilon: X \rightarrow X$ таке, що $d(f_\varepsilon(x), x) < \varepsilon$ для кожного $x \in X$ (тут через d позначають метрику в X).

Лема 1.1. *Множина \mathcal{R}_p є зліченим об'єднанням Z -множин.*

Доведення. Вище зауважено, що множина \mathcal{R}_p є зліченим об'єднанням замкнених множин. Нехай \mathcal{K} — одна з таких множин. Розглянемо множину $A_0 \notin \mathcal{R}_p$ і нехай $\varepsilon > 0$. Означимо відображення $f: \mathcal{R} \rightarrow \mathcal{R}$ формулою: $f(A) = (1 - (\varepsilon/2))A + (\varepsilon/2)A_0$, $a \in \mathcal{R}$. Легко бачити, що $d(f_\varepsilon(A), A) < \varepsilon$ для кожного $A \in \mathcal{R}$ і що $f(\mathcal{R}) \cap \mathcal{R}_p = \emptyset$. \square

Скориставшись результатом Добровольського [4] приходимо до висновку, що для доведення теореми 1 досить показати, що множина \mathcal{R}_p всюди щільна в \mathcal{R} . Це є предметом усіх наступних розділів статті; результат сформульовано як теорему 2.

Дотичні трикутники. Нехай маємо рівносторонній трикутник зі стороною R і множину всіх R -роторів.

Очевидно, що ротор торкається кожної сторони трикутника. Можна також вважати, що не ротор обертається всередині трикутника, а трикутник обертається навколо ротора. Іншими словами, навколо довільного R -ротора U обертається трикутник $S_\varphi T_\varphi Q_\varphi$ зі стороною R : $\varphi \in [0, 2\pi/3]$, $S_{2\pi/3} = Q_0$, $Q_{2\pi/3} = T_0$, $T_{2\pi/3} = S_0$.

Нам знадобиться такий простий геометричний факт.

Лема 1.2. *Нехай маємо рівносторонній трикутник ΔNKQ зі стороною p . Опішемо навколо нього коло і нехай O — до-*

вольна точка дуги $\smile NK$ цього кола. Тоді $\angle NOQ = \angle QOK = \pi/3$ і $\angle NOK = 2\pi/3$ і $|ON| + |OL| = |OQ|$.

Доведення. Нехай D — центр описаного кола. Тоді трикутники ΔODK та ΔODN рівнобічні і $\angle DOK = \frac{1}{2}(\pi - \angle ODK)$, $\angle DON = \frac{1}{2}(\pi - \angle ODN)$. Тому $\angle NOK = \angle DOK + \angle DON = \frac{1}{2}(2\pi - \angle ODK - \angle ODN) = \frac{1}{2}(2\pi - 2\pi/3) = 2\pi/3$. Куты $\angle QOK$ та $\angle QON$ дорівнюють половині градусної міри дуги, на яку вони спираються, тобто $\pi/3$.

Нехай $\angle QOK = \varphi$, $\varphi \in [0, \pi/3]$. Тоді $\frac{|OK|}{\sin \varphi} = \frac{|OQ|}{\sin(2\pi/3 - \varphi)} = \frac{p}{\frac{\sqrt{3}}{2}} = \frac{|ON|}{\sin(\pi/3 - \varphi)}$. Маємо $|OK| = \frac{2}{\sqrt{3}} \sin \varphi p$, $|ON| = \frac{2}{\sqrt{3}} \sin(\pi/3 - \varphi) p$ і $|OQ| = \frac{2}{\sqrt{3}} \sin(2\pi/3 - \varphi) p$. Оскільки $\sin \varphi + \sin(\pi/3 - \varphi) = \sin(2\pi/3 - \varphi)$, то лема доведена. \square

Означення 2. *Нехай $\Delta NKМ$ — довільний трикутник. Роторним центром трикутника $\Delta NKМ$ назвемо точку O , яка визначається так.*

Нехай NK — найдовша сторона трикутника. На цій стороні будемо рівносторонній трикутник ΔQNK з протилежного від точки M боку, і опишемо навколо нього коло. Перетин півпрямой QM , яка виходить з точки Q і проходить через точку M , з цим колом і буде роторним центром трикутника $O \Delta MNK$.

Якщо $\angle NМК \leq 2\pi/3$, то роторний центр O належить трикутнику і $\angle NOM = \angle MOK = \angle KON = 2\pi/3$. Якщо ж $\angle NМК > 2\pi/3$, то роторний центр O лежить між точками Q і M і є за межами трикутника (лема 1.2). Позначимо: $|ON| = a$, $|OK| = b$ та $|OM| = c$. Число $a + b + c$ в першому випадку і число $a + b - c$ в другому випадку назвемо **ротормим числом трикутника**.

Зафіксуємо деяке положення трикутника $S' = S_\varphi$, $Q' = Q_\varphi$, $T' = T_\varphi$, який обертається навколо R -ротора U . Нехай M , N і K — точки дотику ротора U до сторін трикутника.

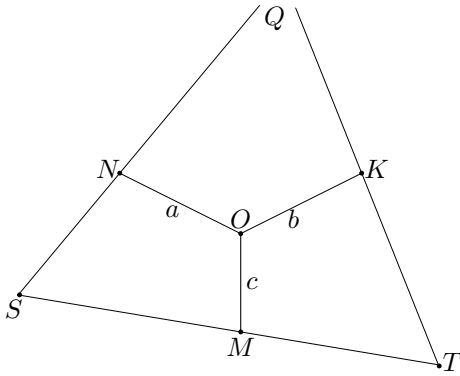


Рис. 1:

Означення 3. Трикутник $\Delta MNK = \Delta M_\varphi N_\varphi K_\varphi$ назовемо **дотичним трикутником**.

Нехай O – роторний центр трикутника ΔNKM і $|ON| = a$, $|OK| = b$ та $|OM| = c$. Оскільки $U \in R$ -ротатором, то навколо дотичного трикутника ΔMNK можна описати рівносторонній трикутник зі стороною, не більшою R з будь-яким поворотом у площині. Нехай ΔSTQ – один з таких трикутників. Припустимо, що роторний центр O лежить всередині трикутника.

Нехай (див. рис. 1) кут між відрізком MO і його стороною ST рівний φ : $\angle SMO = \varphi$. Знайдемо довжину його сторони ST .

Нехай вісь ординат йде у напрямку вектора \vec{MO} . Позначимо через x і y довжини відрізків SM та SN відповідно. Тоді $\vec{MS} = (-x \sin \varphi, x \cos \varphi)$, $\vec{MO} = (0, a)$, $\vec{SN} = (y \cos(\varphi - \pi/6), y \sin(\varphi - \pi/6))$, $\vec{ON} = (-\frac{\sqrt{3}}{2}b, \frac{1}{2}b)$.

Оскільки $\vec{MO} + \vec{ON} = \vec{MS} + \vec{SN}$, то отримуємо систему рівнянь:

$$\begin{cases} -x \sin \varphi + y \cos(\varphi - \pi/6) = -\frac{\sqrt{3}}{2}b \\ x \cos \varphi + y \sin(\varphi - \pi/6) = a + \frac{1}{2}b \end{cases} \quad (1)$$

Отримуємо $x = |SM| = \frac{2}{\sqrt{3}}(a \cos(\varphi - \pi/6) + b \sin \varphi)$. Аналогічним способом отримуємо, що $|MT| = \frac{2}{\sqrt{3}}(a \cos(\pi - \varphi - \pi/6) + b \sin(\pi - \varphi))$.

Разом маємо $|SM| + |MT| = \frac{2}{\sqrt{3}}(a \cos(\varphi - \pi/6) + b \sin(\varphi) - a \cos(\varphi + \pi/6) + c \sin \varphi) = \frac{2}{\sqrt{3}}(a + b + c) \sin \varphi$.

Очевидно, що сторона R описаного трикутника максимальна, якщо $\varphi = \pi/2$ і тоді $R = \frac{2}{\sqrt{3}}(a + b + c)$.

Випадок, коли роторний центр лежить за межами трикутника, повторює це доведення дослівно і дає нам $R = \frac{2}{\sqrt{3}}(a + b - c)$.

Таким чином, ми довели таку лему.

Лема 1.3. *Нехай M, N і K – точки дотику R -ротатора U з трикутником ΔSTQ , в якому він обертається. Проведемо з цих точок перпендикуляри до сторін трикутника. Вони перетинаються в одній точці O , яка є роторним центром ΔSTQ , а роторне число цього трикутника рівне $R' = \frac{\sqrt{3}}{2}R$.*

На кожне положення φ трикутника $S_\varphi T_\varphi Q_\varphi$ маємо свій дотичний трикутник $\Delta K_\varphi M_\varphi N_\varphi$. Очевидно, що R -ротатор є об'єднанням дотичних трикутників з роторним числом R' , $R = \frac{2}{\sqrt{3}}R'$, і не містить жодного трикутника з роторним числом s , де $s > R'$.

Поворот на кут α з двома нерухомими точками

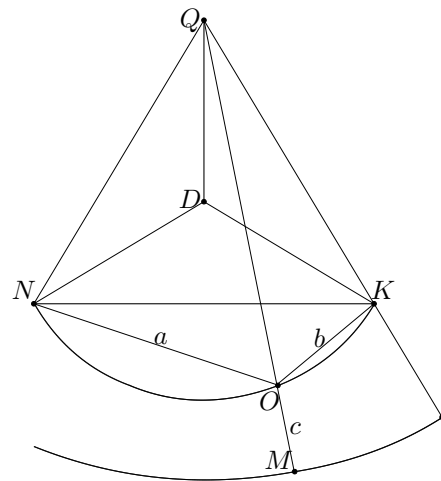


Рис. 2:

Лему можна перефразувати ще й так:

Лема 1.4. *Нехай маємо рівносторонній трикутник ΔNQK зі стороною p . Опишемо навколо нього коло радіуса $\frac{p}{\sqrt{3}}$ з центром D . На цій дузі $\sim NK$ цього кола виберемо довільну точку O . З вершини Q проведемо коло радіуса R' , де $R' \geq p$. Нехай M – точка*

перетину кола радіуса R' і півпрямой QO . Тоді трикутник ΔNKM є трикутником з роторним числом R' .

Простим наслідком цієї леми є наступні дві леми.

Лема 1.5. *Нехай маємо два трикутники ΔNKM і $\Delta NKM'$ з роторним числом R' і з двома спільними вершинами (треті вершини розташовані по один бік від сторони NK). Нехай $|NK| = p$. Побудуємо рівносторонній трикутник ΔNKQ по іншій стороні від точок M і M' і опишемо навколо нього кола. Нехай D — центр цього трикутника.*

Тоді роторні центри трикутників O та O' можна з'єднати дугою $\smile OO'$ кола радіуса $\frac{p}{\sqrt{3}}$ з центром в точці D . Кожна точка O^ дуги $\smile OO'$ є роторним центром трикутника з роторним числом R' і з двома спільними вершинами N і K . Треті вершини M^* цих трикутників дугою кола радіуса R' з'єднують точки M і M' .*

Лема 1.6. *Нехай R -ротатор U містить два дотичні трикутники ΔNKM і $\Delta NKM'$ з двома спільними вершинами N і K . Тоді межа ротора U між точками M і M' є дугою кола радіуса R' .*

Лема 1.7. *Нехай ΔMNK — дотичний трикутник R -ротатора U і O — роторний центр цього трикутника. На стороні NK побудуємо рівносторонній трикутник ΔNQK по іншій бік від точки O (якщо роторний центр не належить трикутнику, то нехай NK — найдовша сторона). Тоді жодна точка ротора не лежить зовні сектора кола радіуса R' з центром в точці Q , який обмежений кутом $\angle NQK$.*

Доведення. Припустимо, що існує точка B , така що $|BQ| = s > R'$. З'єднаємо точки B та Q і нехай P — точка перетину цього відрізка з дугою кола, описаного навколо рівностороннього трикутника ΔNKQ . Трикутник $PBNK$ матиме роторне число s і він теж належить ротору U . Але це неможливо, оскільки $s > R'$. \square

Два трикутники

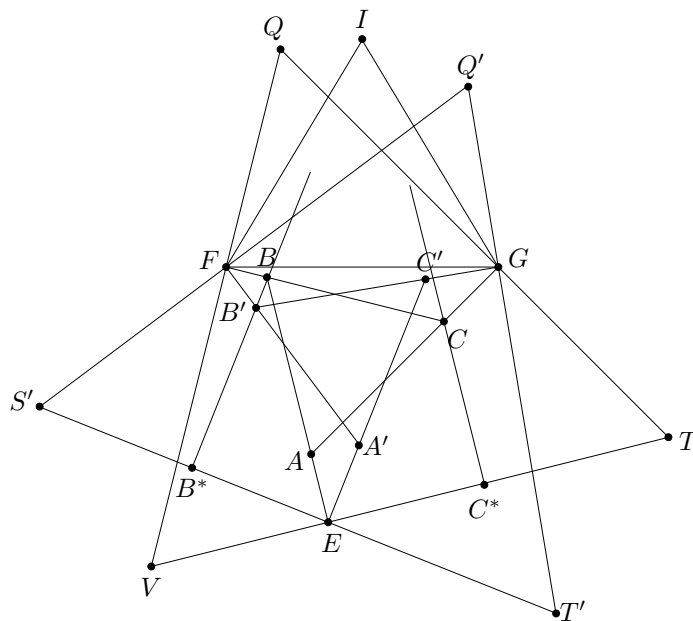


Рис. 3:

Нехай маємо R -ротатор U і два трикутники ΔSTQ та $\Delta S'T'Q'$ навколо нього, сторони яких утворюють кут α , $\alpha < \pi/6$ (див. рис. 3). Через E , F та G позначимо точки перетину сторін трикутників: $\{E\} = ST \cap S'T'$, $\{F\} = SQ \cap S'Q'$, $\{G\} = TQ \cap T'Q'$.

З точок E , F , G проведемо прямі, перпендикулярні до сторін трикутника ΔSTQ . Перетинаючись, вони утворюють рівносторонній трикутник ΔABC . Перпендикуляри до сторін трикутника $\Delta S'T'Q'$ утворять рівносторонній трикутник $\Delta A'B'C'$. Легко бачити, що роторний центр O дотичного трикутника, породженого ΔSTQ , міститься в ΔABC , а центр O' дотичного трикутника, породженого $\Delta S'T'Q'$, міститься в $\Delta A'B'C'$.

Проведемо перпендикуляр CC^* з точки C до відрізка ST і перпендикуляр $B'B^*$ з точки B' до відрізка $S'T'$. Отримаємо два дотичні трикутники ΔGFC^* та ΔGFB^* з двома спільними вершинами. Кут між продовженнями відрізків CC^* та $B'B^*$ рівний α .

На стороні FG побудуємо рівносторонній трикутник ΔFGI . Тоді $B^*B' \subset B^*I$, $C^*C \subset C^*I$, $\angle B'IC = \alpha$.

Легко бачити, що $|B^*E| = R' \operatorname{tg} \frac{\alpha}{2} = \frac{\sqrt{3}}{2} R \operatorname{tg} \frac{\alpha}{2} = r'$ є висота $\Delta A'B'C'$, а сторона

r цього трикутника рівна $r = R \operatorname{tg} \frac{\alpha}{2}$. Трикутник ABC має таку ж довжину сторін.

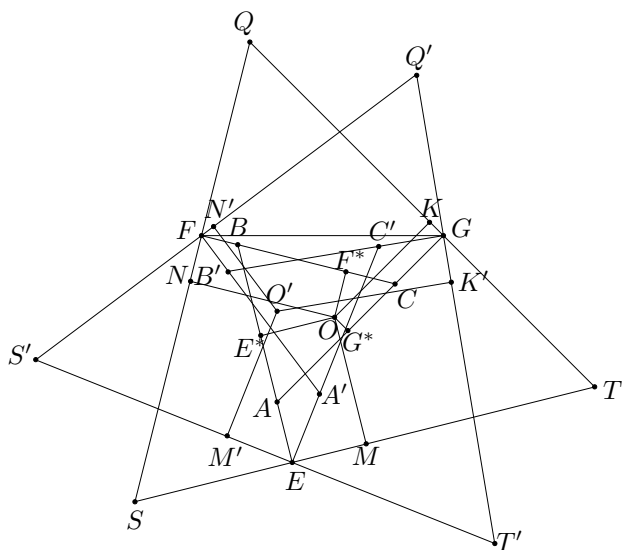


Рис. 4:

Розглянемо рис. 4. Нехай $\triangle MNK$ — довільний дотичний трикутник, породжений $\triangle STQ$. Його центр O , як було сказано, лежить у $\triangle ABC$. Спроектуємо його на сторони цього трикутника AB , BC і CA і позначимо через E^* , F^* та G^* відповідні проєкції. Тоді $\triangle E^*F^*G^*$ є дотичним трикутником для $\triangle ABC$ і $|OE^*| + |OF^*| + |OG^*| = r'$. А це означає, що

$$|EM| + |FN| + |GK| = r' = R \operatorname{tg} \frac{\alpha}{2}.$$

Якщо $\triangle M'N'K'$ — дотичний трикутник для $\triangle S'T'Q'$, то аналогічно

$$|EM'| + |FN'| + |GK'| = r' = R \operatorname{tg} \frac{\alpha}{2}.$$

α -пара

Тепер розглянемо ситуацію біля однієї фіксованої точки перетину сторін трикутників $\triangle STU$ та $\triangle S'T'U'$, наприклад, біля точки E . Присвоїмо цій точці індекс 1, точці F — індекс 2, а точці G — 3. Всі позначення, які появлятимуться з індексом 1, можуть бути проведені для точок F та G і мати індекси 2 та 3.

Продовжимо відрізки MO та $M'O'$ по іншу сторону від точок O (O') до відрізків довжини R' — ML та $M'L'$ відповідно. Дані від-

різки обов'язково перетнуться в деякій точці J .

Означення 4. Пара відрізків ML та $M'L'$ довжини R' , які перетинаються під кутом α , утворює α -пару, якщо всі чотири кола радіуса R' з центрами у кінцях цих відрізків, містять ці відрізки.

Позначимо $|MJ| = e_1$, $|M'J| = f_1$, $|ME| = m_1$, $|M'E| = n_1$.

Ми довели, що $m_1 + m_2 + m_3 = n_1 + n_2 + n_3 = r' = R' \operatorname{tg} \frac{\alpha}{2}$. Неважко переконатися також, що

$$\begin{aligned} e_i &= \frac{m_i \cos \alpha + n_i}{\sin \alpha} & f_i &= \frac{m_i + n_i \cos \alpha}{\sin \alpha} \\ m_i &= \frac{f_i - e_i \cos \alpha}{\sin \alpha} & n_i &= \frac{e_i - f_i \cos \alpha}{\sin \alpha} \end{aligned} \quad (2)$$

і тому

$$e_1 + e_2 + e_3 = f_1 + f_2 + f_3 = R' = \frac{\sqrt{3}}{2} R \quad (3)$$

Якщо позначити $e'_i = R' - e_i$, $f'_i = R' - f_i$, $i = 1, 2, 3$, то

$$e'_1 + e'_2 + e'_3 = f'_1 + f'_2 + f'_3 = 2R' = \sqrt{3} R. \quad (4)$$

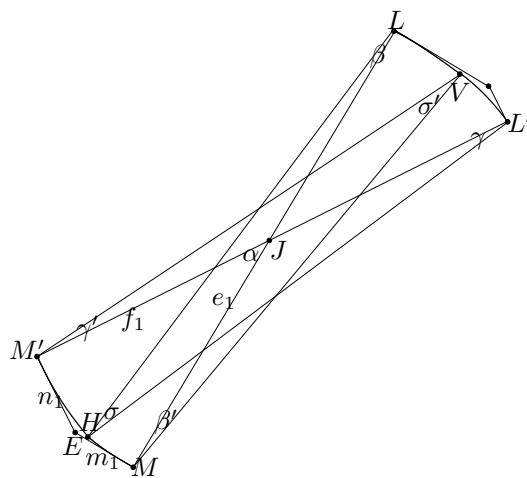


Рис. 5:

З точок L та L' проведемо кола радіуса R' і нехай H — точка їх перетину, яка розташована у куті MJM' (див. лему 1.7). Взагалі кажучи, точка H може збігатися з M чи M' .

Аналогічно, з точок M та M' проведемо кола радіуса R' і нехай V — точка їх перетину, розташована у куті LJL' .

З'єднаємо точку V з точками M та M' , а точку H — з точками L та L' відрізками довжини R' і позначимо кути

$$\begin{aligned} \angle VM'L' &= \gamma'_1, & \angle M'L'H &= \gamma_1, \\ \angle LMH' &= \beta'_1, & \angle MLH &= \beta_1, \\ \angle M'VM &= \sigma'_1, & \angle LHL' &= \sigma_1. \end{aligned} \quad (5)$$

Легко бачити, що

$$\alpha = \gamma_1 + \beta_1 + \sigma_1 = \gamma'_1 + \beta'_1 + \sigma'_1. \quad (6)$$

Неважко показати, що при фіксованому e число f може змінюватися в межах від $R' - e \cos \alpha - \sqrt{(R')^2 - e^2 \sin^2 \alpha}$ до $\sqrt{(R')^2 - (R' - e) \sin^2 \alpha} - (R' - e) \cos \alpha$. Якщо f є максимально можливе, то $\gamma = \beta' = 0$, якщо f — мінімально можливе, то $\beta = \gamma' = 0$.

Довжини введених кутів природно можуть вимірюватися довжинами відповідних дуг кіл радіуса R' : куту γ відповідає дуга $\smile M'H$, куту γ' — дуга $\smile L'V$, куту β — дуга $\smile MH$, а куту β' — дуга $\smile LH'$.

При фіксованому R' і α кут γ є функцією від пари чисел e, f , тобто $\gamma = \varphi(e, f)$. Тоді $\beta = \varphi(f, e)$, $\gamma' = \varphi(e', f')$ і $\beta' = \varphi(f', e')$.

Легко бачити, що якщо $f < f'$, то $\varphi(e, f) > \varphi(e, f')$ і якщо $e < e'$, то $\varphi(e, f), \varphi(e', f)$.

Лема 1.8. В попередніх позначеннях на дузі $\smile M'H$ виберемо точку M'' , таку що $\angle M'L'M'' = \Delta\alpha$. Тоді відрізки ML і $M''L'$ утворюють $(\alpha - \Delta\alpha)$ -пару.

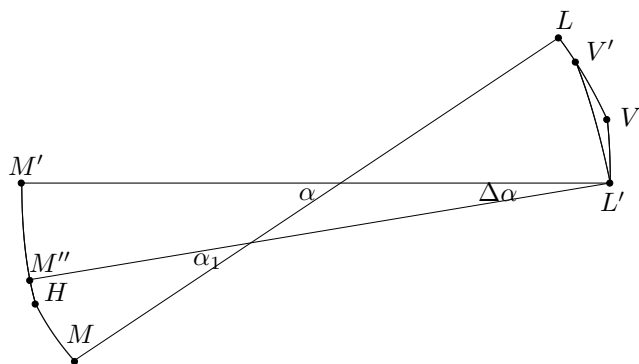


Рис. 6:

Доведення. Оскільки дуга $\smile HM'$ міститься в крузі радіуса R' з центром в точці L , то $|M''L| < R'$ і тому точка L міститься в крузі радіуса R' з центром в точці M'' . \square

Пари відрізків

Підсумуємо одержане. Нехай навколо фіксованого R -ротора U описано два трикутники, сторони яких утворюють між собою кут α . Біля кожної точки перетину сторін маємо таку картину (див. рис. 5). Два відрізки M_iL_i та $M'_iL'_i$ довжини R' перпендикулярні до сторін трикутників, перетинаються в точці J_i і утворюють α -пару. Довжини відрізків $|M_iJ_i| = e_i$ та $|M'_iJ_i| = f_i$ задовольняють рівняння 5. Якщо f_i є максимально можливе, то $\gamma_i = \beta'_i = 0$, якщо f_i — мінімально можливе, то $\beta_i = \gamma'_i = 0$.

Позначимо $h_i = f_i - e_i$, $i = 1, 2, 3$. Маємо $h_1 + h_2 + h_3 = (f_1 - e_1) + (f_2 - e_2) + (f_3 - e_3) = 0$. Тому, якщо не всі числа h_i рівні нулю, то принаймні одне з них додатне і принаймні одне — від'ємне.

З точністю до позначень завжди має місце така ситуація: $e_1 \leq e_2$, $e_1 \leq f_1$, $e_2 \leq f_2$, $f_3 \leq e_3$.

Лема 1.9. (Про дві пари).

Нехай $e_1 < f_1$, $e_2 < f_2$, $e_1 < e_2$. Якщо $\gamma_1 > \gamma_2$, то $\beta'_1 > \beta'_2$.

Тобто, якщо $\varphi(e_1, f_1) > \varphi(e_2, f_2)$, то $\varphi(R' - f_1, R' - e_1) > \varphi(R' - f_2, R' - e_2)$.

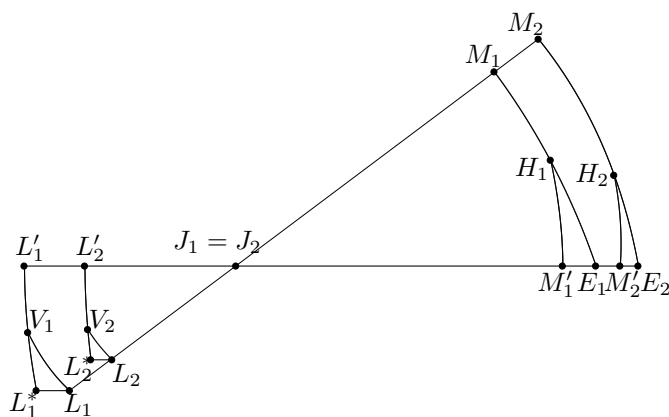


Рис. 7:

Доведення. Сумістимо дві пари відрізків так, щоб точки J_1 і J_2 збіглися, відрізки

L_1M_1 і L_2M_2 ($L'_1M'_1$ і $L'_2M'_2$) лежали на одній прямій і точки M_1 і M_2 (M'_1 і M'_2) розташувалися на цій прямій по один бік від точки J_1 . З точок L_i проведемо прямі, паралельні до прямої $L'_1M'_1$, і нехай L_i^* — точки перетину цих прямих з колами радіуса R' з центрами в точках M'_i .

Маємо $|M'_2L'_2| = |M'_2L_2^*| = R'$ і $|M_2L_2| = |E_2L_2| = R'$. Тому $M'_2E_2L_2L_2^*$ є паралелограм і $|M'_2E_2| = |L_2L_2^*|$. Аналогічно $|M'_1E_1| = |L_1L_1^*|$.

Розглянемо криволінійні трикутники $H_1M'_1E_1$ і $H_2M'_2E_2$. Кут між відрізком M'_1E_1 і дугою $\smile H_1E_1$ є менший, ніж кут між відрізком M'_2E_2 і дугою $\smile H_2E_2$. Тому $|M'_1E_1| > |M'_2E_2|$. Значить, і $|L_1L_1^*| > |L_2L_2^*|$.

Тепер порівняємо криволінійні трикутники $V_1L_1^*L_1$ і $V_2L_2^*L_2$. Кут між відрізком $L_2^*L_2$ і дугою $\smile V_2L_2^*$ є менший, ніж кут між відрізком $L_1^*L_1$ і дугою $\smile V_1L_1^*$. Тому дуга $\smile V_1L_1$ довша, ніж дуга $\smile V_2L_2$, тобто $\beta'_1 > \beta'_2$. \square

Лема 1.10. *Завжди виконується принаймні одне з тверджень:*

- (*) існує таке i , що $\gamma_i \leq \gamma'_j$ при $j \neq i$,
- (*) існує таке i , що $\beta_i \leq \beta'_j$ при $j \neq i$.

Доведення. Нехай $f_1 > e_1$, $e_2 \geq f_2$ і $e_3 \geq f_3$. Якщо $\gamma_1 \leq \gamma'_2$ і $\gamma_1 \leq \gamma'_3$, то лема доведена. Якщо це не так, то, наприклад, $\gamma_1 > \gamma'_2$, тобто $\varphi(e_1, f_1) > \varphi(e'_2, f'_2) = \varphi(e_1 + e_3, f_1 + f_3)$. Тоді за лемою 1.9 маємо $\varphi(R' - f_1, R' - e_1) > \varphi(R' - f_1 - f_3, R' - e_1 - e_3)$, тобто $\varphi(f_2 + f_3, e_2 + e_3) > \varphi(f_2, e_2)$. Значить $\beta'_1 > \beta_2$. Оскільки $e_2 \geq f_2$, а $f_1 + f_2 \geq e_1 + e_2$, то $\varphi(f_2, e_2) < \varphi(f_1 + f_2, e_1 + e_2)$, тобто $\beta_2 \leq \beta'_3$. \square

Лема 1.11. *Нехай пара e_1, f_1 , $e_1 < f_1$, така, що f_1 — максимально можливе відносно e_1 . Тоді $\beta'_2 > \beta_1$ і $\beta'_3 > \beta_1$.*

Доведення. Проведемо дві прямі l_1 і l_2 , які перетинаються під кутом α в точці O . На прямій l_1 вибираємо точки A, C і E так, що $|OA| = e_1$, $|AC| = e_2$, $|OE| = e_3$. Нехай $|OB| = f_1$ і $\angle AOB = \alpha$. Через точку C проведемо дугу кола радіуса R' з центром в

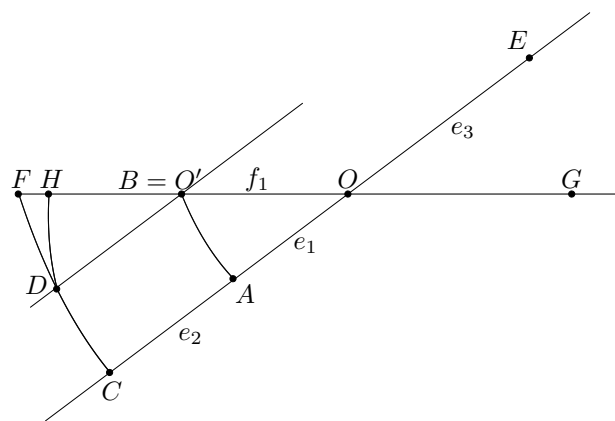


Рис. 8:

точці E . Ця дуга перетинає пряму l_2 в точці F і $|OF| = f_2$ — максимально можливе значення f_2 у цій ситуації.

Через точку $B = O'$ проведемо пряму $O'D$, паралельну прямій l_1 (D — точка перетину цієї прямої і вказаного кола). Нехай $G \in l_2$ — точка по іншу сторону від O' (відносно F), така що $|GD| = R'$. Проведемо коло радіуса R' з центром у точці G і нехай H — точка перетину цього кола з l_2 : $|GH| = R'$. Тоді $|O'H| = R'$ — мінімальне значення f_2 у цій ситуації. Отже, f_2 може змінюватися “від H до F ”. Всі кола радіуса R' , що проходять через точку відрізка HF , перетинають дугу $\smile CF$ тільки у точках дуги $\smile FD$, а тому $\beta'_3 \geq \beta_1$. \square

Основна конструкція

Теорема 2. *Довільний R -ротатор U можна як завгодно близько наблизити ротором U' , межа якого є об'єднанням кіл радіуса $R' = \frac{\sqrt{3}}{2}R$.*

Доведення. Залишаємося в позначеннях попереднього пункту. Для довільного α довільно вибираємо два описані навколо R -ротатора U трикутники, кожен з яких породжує свій дотичний трикутник. Вершини дотичних трикутників з'єднуємо з роторним центром і продовжуємо до відрізків довжини R' . Отримаємо три α -пари відрізків M_iL_i та $M'_iL'_i$. Покажемо, що частина межі ротора між точками M_i та M'_i може бути замінена дугами кіл радіуса R' так, що новоутворене тіло U' теж буде R -ротатором.

Випадок 1. Нехай дотичні трикутники мають одну спільну вершину, наприклад, нехай $M_1 = M'_1$. Тоді $e_1 = f_1 = 0$.

Нехай γ_2 , наприклад, найменший з кутів $\gamma_i, \beta_i, i = 1, 2$. Оскільки $e'_2 = e_3, f'_2 = f_3, e'_3 = e_2, f'_3 = f_2$, то $\gamma_3 = \gamma'_2, \gamma'_3 = \gamma_2, \beta_3 = \beta'_2$ і $\beta'_3 = \beta_2$. Легко бачити також, що $\beta_2 \leq \gamma'_2 = \gamma_3$.

Здійснимо поворот на кут γ_2 з нерухомими точками $M'_1 = M_1$ і M'_3 так, що точка M'_2 перейде в точку H_2 . Дуга $\smile M'_2H_2$ буде частиною межі шуканого ротора U' . При цьому повороті дотичний трикутник $\Delta M'_1M'_2M'_3$ перейде у дотичний трикутник $\Delta M'_1H_2M'_3$, який породить відрізки $M'_1L'_1, M'_3V_3$ і $H_2L'_2$ довжини R' . Тоді відрізки M_1L_1 і $M'_1L'_1, M_2L_2$ і $H_2L'_2$ та M_3L_3 і $M'_3N'_3$ утворюють $(\alpha - \gamma_2)$ -пари (див. лему 1.8). Збережемо старі позначення для кутів, додаючи до них "зірочку".

Для пари M_2L_2 і $H_2L'_2$ будемо мати, що $\gamma_2^* = \gamma_3^* = \beta_2^* = \beta_3^* = 0, \beta_2^* = \beta_3^* = \beta_2$ і $\gamma_2^* = \gamma_3^* = \gamma_2$.

Здійснимо поворот на кут β_2 з нерухомими точками M_1 і M_3 так, що точка M_2 перейде в точку H_2 . Дуга $\smile M_2H_2$ буде частиною межі шуканого ротора U' . При цьому повороті дотичний трикутник $\Delta M_1M_2M_3$ перейде у дотичний трикутник $\Delta M_1H_2M_3$. Але дані дотичні трикутники мають вже дві спільні точки M_1 та H_2 і нам залишається тільки з'єднати їх вершини M_3 та M'_3 дугою кола, проведеного з точки V_3 .

Тепер, замінюючи частину межі ротора U між точками M_2 і M'_2 на дуги $\smile M_2H_2$ і $\smile M'_2H_2$, а між точками M_3 і M'_3 — на дугу $\smile M_3M'_3$, ми отримаємо новий ротор U' .

Випадок 2. Всі вершини дотичних трикутників різні. Ми зведемо цей випадок до першого. За лемою 1.10, з точністю до позначень, маємо $\gamma_1 \leq \gamma'_2$ і $\gamma_1 \leq \gamma'_3$.

Здійснимо поворот на кут $\gamma_1 \leq \alpha$ з нерухомими точками M'_2 і M'_3 так, що точка M'_1 перейде в точку H_1 . Дуга $\smile M'_1H_1$ буде частиною межі шуканого ротора U' . При цьому повороті дотичний трикутник $\Delta M'_1M'_2M'_3$ перейде у дотичний трикутник $\Delta H_1M'_2M'_3$. Він породжує відрізки $H_1L'_1,$

$M'_2L'_2, M'_3L'_3$ довжини R' . Тоді пари відрізків M_1L_1 і M'_1H_1, M_2L_2 і $M'_2L'_2$ та M_3L_3 і $M'_3L'_3$ утворюють $(\alpha - \gamma_1)$ -пари. Збережемо старі позначення для кутів, додаючи до них "зірочку".

За лемою 1.11, маємо, що $\beta_1^* = \beta_1 < \beta_2^*$ і $\beta_1 < \beta_3^*$. Тому здійснимо поворот на кут β_1 з нерухомими точками M_2 і M_3 так, що точка M_1 перейде в точку H_1 . Дуга $\smile M_1H_1$ буде частиною межі шуканого ротора U' . При цьому повороті дотичний трикутник $\Delta M_1M_2M_3$ перейде у дотичний трикутник $\Delta H_1M_2M_3$. Дотичні трикутники $\Delta H_1M'_2M'_3$ та $\Delta H_1M_2M_3$ мають одну спільну вершину H_1 і підпадають під випадок 1. \square

Висновки

Побудови попередніх розділів можна вважати аналогами при $n = 3$ результатів статті [5], де розглядаються апроксимації тіл сталої ширини (=роторів квадрата) многокутниками Рело.

Таким чином, для роторів у правильно-му трикутнику можна встановити результат, що є аналогом для гіперпростору полідральних опуклих тіл. Залишається відкритим питання про перенесення теореми 1 на випадок роторів правильних n -кутників при $n \geq 5$.

СПИСОК ЛІТЕРАТУРИ

1. L. Bazylevych, *On the hyperspace of rotors in convex polygons*, Матем. студії. 2006. Т. 26, N 1. С. 49-54.
2. S.B. Nadler, Jr., J. Quinn, N.M. Stavrakas, *Hyperspace of compact convex sets*, Pacif. J. Math. **83**(1979), 441-462.
3. C. Bessaga, A. Pełczyński, *Selected topics in infinite-dimensional topology.*- Monografie Matematyczne, Tom 58. PWN, Warsaw, 1975. 353 pp.
4. T. Dobrowolski, *The compact Z-set property in convex sets*, Topol. Appl. **23**(1986), 163-172.
5. Y. Kupitz, H. Martini, B. Wegner, *A linear-time construction of Reuleaux polygons*, Beiträge zur Algebra und Geometrie, **37** (1996), no 2, 415-427.